

# 杀虫药剂抗性家蝇品系乙酰胆碱酯酶基因的特征分析

黄 瑶 乔传令\*

(中国科学院动物研究所虫鼠害国家重点实验室 北京 100080)

Williamson M S Devonshire A L

(Rothamsted Experimental Station Harpenden, Herts., AL 5 2JQ, UK)

**摘要** 乙酰胆碱酯酶(AChE)是有机磷和氨基甲酸酯类杀虫药剂的作用靶标, 这两大类杀虫药剂的广泛应用导致了昆虫对抗性的选择。靶标的修饰是某些昆虫产生抗性的分子机理, 这种抗性是和 AChE 的变更型相关的, 这些变更型的酶显示出对杀虫药剂的不敏感性。利用 RT-PCR 和 Streptavidin 偶联磁珠技术从两种抗性家蝇(*Musca domestica*)品系 D3 和 Kash 中分别分离了 AChE 基因并测定了其核苷酸顺序, cDNA 的可读框长 2082bp, 由此推导出了 AChE 的氨基酸顺序, 通过与敏感家蝇品系 Cooper 的比较, 发现了一些核苷酸顺序差异和 4 个氨基酸点突变, 其中 3 个替代可能与杀虫药剂不敏感性有关, 这一结果表明 D3 和 Kash 均属于 CH<sub>2</sub> 抗性类型。

**关键词** 家蝇, 乙酰胆碱酯酶(AChE)基因, 突变, 杀虫药剂抗性

乙酰胆碱酯酶(AChE)通过迅速水解神经递质乙酰胆碱而终止神经突触传递。在昆虫中, AChE 是两类主要杀虫药剂(有机磷和氨基甲酸酯)的作用靶标。有机磷和氨基甲酸酯在与酶作用时, 其方式与乙酰胆碱类似, 先与酶形成复合物, 然后再将酶磷酸化或氨基甲酰化。这两类农药的广泛应用已经导致了许多昆虫种群对抗性的选择。AChE 在量和质上的变化均可能与杀虫剂抗性有关<sup>[1]</sup>。直到现在, 有关杀虫药剂抗性在分子水平上的遗传起源尚未受到广泛的关注。一方面, 研究表明某些抗性涉及到基因的扩增或过量转录<sup>[2,4]</sup>; 另一方面, 抗性也可能与酶质的变化相关, 在某些抗性品系中, 靶标的修饰被认为是一种重要的分子机制<sup>[5,6]</sup>。现已经知道多数抗性常常与 AChE 的变更型相关, 这些变更型酶表现出对抑制剂的敏感度降低。

在果蝇中, 编码 AChE 的基因被定位在一个单一的位点(ace)上, 已用染色体步查法克隆了 ace 基因, 其 cDNA 可读框编码一个 70kDa 的多肽, 它是 18kDa 和 55kDa 多肽的前体<sup>[7]</sup>。在家蝇中, 一个敏感品系和多个抗性品系的 AChE 基因最近已被克隆和测序, 结果表明这些家蝇品系中存在着一系列核苷酸顺序差异, 其中 4 个点突变导致的氨基酸替代正好位于酶的活性部位, 这 4 个编码区突变可能与杀虫药剂不敏感性有关, 并把家蝇品系分为两种抗性类型: 49R 和 CH<sub>1</sub><sup>[8]</sup>。

国家自然科学基金资助项目。

\* 责任作者。

本文于 1996 年 5 月 15 日收到。

在本研究中,我们用反转录多聚酶链式反应(RT-PCR)的方法对中国抗性家蝇品系D3和日本抗性品系Kash的AChE基因进行了序列分析,并将这些数据与敏感家蝇品系Cooper比较,发现了一些核苷酸顺序和氨基酸顺序的差异,这些序列差异表明D3和Kash均属于CH<sub>2</sub>抗性类型。

## 1 材料和方法

### 1.1. 家蝇品系

Cooper是敏感参考品系,在ace位点的等位基因为野生纯合型,77M为有机磷和氨基甲酸酯抗性品系,D3为中国抗性品系,Kash为日本抗性品系。

### 1.2 AChE生物测定

用Ellman技术测定AChE的活性和抑制,参照Moores等人<sup>[9]</sup>的微量滴度分析法进行。本研究用DDVP、谷硫磷、马拉硫磷、对硫磷和恶虫威等5种杀虫药剂来鉴定基因型,其最佳抑制浓度分别为10, 0.2, 10, 40和50μmol/L, 测定时间为10min。分析在V<sub>max</sub>酶联免疫酶标仪上进行,酶标仪与带有SOFT<sub>max</sub>软件的Packard-Bell(IBM-type)微机相连,可自动进行吸收值的测定。

### 1.3 总RNA的提取

用改进的异硫氰酸胍法<sup>[10]</sup>从家蝇成体中提取总RNA。3~5头家蝇于1只Eppendorf管中用液氮碾碎,然后加入0.5ml Gu-HCl缓冲液(8mol/L胍,20mmol/L MOPS和20mmol/L EDTA,pH7.0),悬浮液依次用等体积的酚、酚/氯仿、氯仿抽提,最后加入0.2体积的1mol/L醋酸和0.7体积的无水乙醇,于-20℃沉淀RNA。总RNA经含甲醛的琼脂糖凝胶电泳后,吖啶橙染色检测。

### 1.4 多聚酶链式反应(PCR)

PCR用DyNAZyme<sup>TM</sup> IIDNA聚合酶,根据产品说明书进行,94℃变性45s,55℃退火1.15min,72℃延伸2min,共循环30次。第一轮PCR以反转录的cDNA第一链为模板,每种专一性引物的浓度均为200ng,这对引物是根据Cooper品系AChE的cDNA顺序设计的,总反应体积为50μl。第二轮PCR的总反应体积为100μl,每种引物浓度均为125ng,其中一种引物的5'末端用生物素标记。PCR扩增的DNA片段经1%的琼脂糖凝胶电泳后,用溴化乙锭染色检测扩增是否成功。

### 1.5 PCR扩增片段的双向固相序列分析

每个PCR反应需用20μl Dynabeads M280 Streptavidin(10μg/μl)磁珠,Dynabeads磁珠要根据Dynabeads生物磁性分离系统(DYNAL)的说明书进行预洗。将第二轮PCR产物与预洗的磁珠在37℃混合15min,用Dyna IMPC-E弃去上清液,加入10μl新鲜配制的0.15mol/L NaOH,于37℃混合10min。将碱性上清液(含有与生物素标记的DNA互补的互补链)转移到1只新的Eppendorf管中,磁珠用50μl的0.15mol/L NaOH于37℃再次洗涤5min,这60μl两次洗涤的上清液经1mol/L HCl中和后,用乙醇沉淀DNA。含生物素标记ssDNA的磁珠依次用50μl的0.15mol/L NaOH和TE缓冲液进行洗涤。与磁珠相连的ssDNA及其互补链最后分别悬浮在合适体积的TE缓冲液(1mmol/L Tris-HCl,1mmol/L EDTA, pH8)中。根据PRISM<sup>TM</sup> Ready Reaction DyeDeoxy<sup>TM</sup> Terminator

Cycle Sequencing Kit(ABI 公司)的产品说明书进行序列反应。

### 1.6 DNA 序列排列及分析

序列排列及分析用 GAP(基因组排列程序)版本 2.5(1994 年 11 月, MRC 分子生物学实验室注册)进行。

## 2 结果和讨论

### 2.1 AChE 不敏感性的生化分析

AChE 催化底物硫代乙酰胆碱与 DTNB 反应释放硫醇基(Ellman 反应), 通过比色法测定 405nm 处的吸收值( $A_{405}$ )计算酶活和抑制, 将没有加入抑制剂的匀浆液中 AChE 的酶活与存在各种浓度抑制剂的酶活进行比较。图 1 显示了 96 个反应曲线的结果及其线性衰变的特征, 49R 和 CH<sub>2</sub> 品系对谷硫磷和 DDVP 具有相反的抗性类型<sup>[8]</sup>。生化分析的结果表明 D3 品系抗 DDVP 和马拉硫磷, 而对谷硫磷、对硫磷和恶虫威敏感, 与 77M 类似, 这暗示着 D3 属于 CH<sub>2</sub> 类型。

某些昆虫对杀虫药剂的敏感性与其 AChE 的含量相关, 有关酶的过量表达引起抗性机理的研究很多<sup>[2~4]</sup>。点突变同样也可以引起抗性的产生, 研究表明许多昆虫品系, 如蚊虫、家蝇和蚜虫都具有对杀虫药剂不敏感的 AChE。

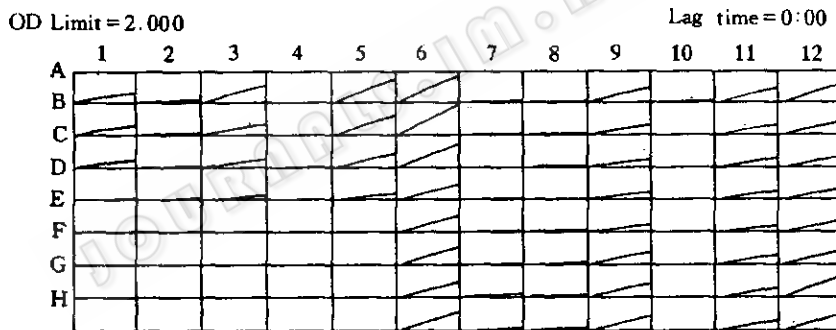


图 1 家蝇 AChE 的微量滴度分析, 曲线所示的是  $A_{405}$  随时间的变化情况

Fig. 1 Kinetic plots showing changes in absorbance ( $A_{405}$ ) with time for 96 reactions in individual wells of a microtitre plate.

Four replicate 77M (rows A – D left), four Cooper (rows E – H left) and eight D3 (row 3 A – H right) were assayed in the presence of 50  $\mu\text{mol/L}$  bendiocarb (column 1 and 7), 40  $\mu\text{mol/L}$  paraoxon (column 2 and 8), 10  $\mu\text{mol/L}$  malaoxon (column 3 and 9), 0.2  $\mu\text{mol/L}$  azamethiphos (column 4 and 10), 10  $\mu\text{mol/L}$  dischlirvos (column 5 and 11) or without inhibitor (column 6 and 12). Reactions were monitored for 10 min with an absorbance limit of 2.000(OD).

### 2.2 AChE 变更型基因的扩增及其序列分析

我们根据 Cooper 品系的 AChE 基因的 cDNA 核苷酸顺序<sup>[8]</sup>设计了一系列专一性引物用于 RT-PCR, 直接扩增 AChE 变更型基因片段, 应用 Streptavidin 偶联磁珠法快速分离测定这些 PCR 产物的核苷酸顺序(图 2)。结果显示 D3 和 Kash 品系 AChE 基因的核苷酸序列, 其开放阅读框起始于第 8 位核苷酸残基而终止于第 2089 位的终止密码子

TAA, 共编码 693 个氨基酸, 它们与 Cooper 品系的 AChE 序列具有高度(99%)的同源性。但是, 与果蝇的 AChE 顺序<sup>[7]</sup>相比, 所推导的蛋白质序列的前 81 个氨基酸小肽不符合从成熟蛋白上切下来的信号肽的原则, 它太长而且不够疏水, 以致于不能形成一个跨膜片段, 而这个跨膜片段又是蛋白质转运至细胞膜以及之后在细胞外信号肽从成熟蛋白上切除所必需的<sup>[11]</sup>。假设第 229 位的 ATG 为起始密码子, 那么信号肽仅含有 7 个氨基酸残基, 又太短了。因此, 信号肽尚需进一步研究确定。

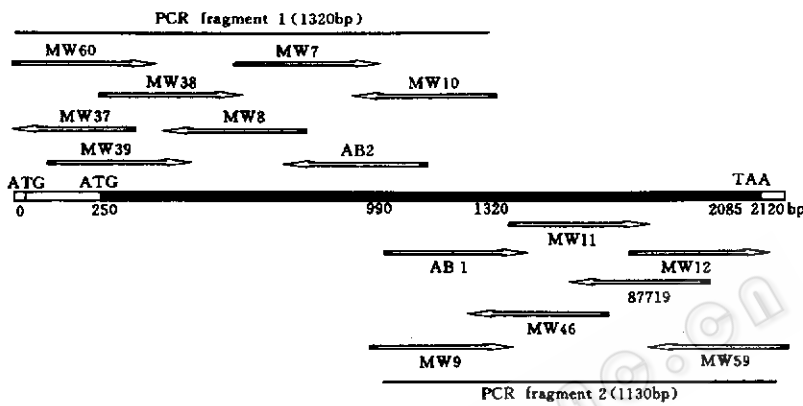


图 2 家蝇 AChE cDNA 片段 PCR 扩增和测序的策略

Fig.2 Strategy for amplification and sequencing of a housefly AChE cDNA fragment

### 2.3 点突变与杀虫药剂抗性

我们测定了 D3 和 kash 品系 AChE 基因编码区的核苷酸顺序, 通过与野生型参考品系 Cooper 比较, 发现了 4 个有义突变, 它们分别是 ATA 为 ATG 替代、GTC 为 CTC 替代、GGC 为 GCC 替代、TTT 为 TAT 替代, 从而导致第 163 位的异亮氨酸突变为甲硫氨酸、第 261 位的缬氨酸突变为亮氨酸、第 343 位的甘氨酸突变为丙氨酸、第 408 位的苯丙氨酸突变为酪氨酸(图 3)。由此可见, D3 和 Kash 与 CH<sub>2</sub> 和 77M 品系类似而与 49R 品系不同, 在 49R 品系中存在着另一个 GGC 为 GCC 替代, 从而导致第 446 位的甘氨酸突变为丙氨酸<sup>[8]</sup>。

AChE 是一种丝氨酸水解酶, 其活性位点由一个酯解部位和一个阴离子部位组成, 酯解部位专门催化乙酰胆碱的水解, 阴离子部位使乙酰胆碱分子结合到酶分子上, 因此可将 AChE 的作用部位描绘成两个“口袋”, 其中酯“口袋”里的一个丝氨酸、一个组氨酸和一个谷氨酸被认为参与电荷交换系统, 阴离子“口袋”结合季胺残基。参照果蝇<sup>[7]</sup>和电鱼<sup>[12]</sup>的 AChE 序列, 我们推断第 316 位的丝氨酸、第 445 位的谷氨酸和第 558 位的组氨酸可能参与酯解部位(图 3)。电鱼 AChE 的三维结构显示酶的活性位点位于一个深而窄的“峡谷”或“井”的底部附近, “峡谷”里存在着几个芳香族氨基酸残基, 因此得到如下假设: 当底物在“井”的顶部被俘获时, 芳香环可以使底物快速地进入<sup>[13]</sup>。果蝇 AChE 第 368 位苯丙氨酸被一个酪氨酸取代而导致抗性的产生和酶催化特性的改变<sup>[1]</sup>, 这一苯丙氨酸靠近酶活性位点的“口袋”, 但其侧链与“口袋”相对<sup>[13]</sup>。最近, 家蝇 AChE 的一级结构顺序已在发

Cooper: MARSVRTPISSSSSSRS SWSSPSSS\*F YSLLSSFKAS LTRPSSSSV AHHLAARNND 60  
 D3: -----T S-----W\*\*-----SY-----  
 Kash: -----T S-----W\*\*-----SY-----

Cooper: ICRGLFATLVLILLRMSALTS AMTDHHTVQT TSGPVRGRSV TVQGRDVHVF TGIPYAKPPV 120  
 D3: -----  
 Kash: -----

Cooper: DDLRFRKPVP AEPWHGVLDA TRLPATCVQE RYEYFPGFSG EEIWNPNNTNV SEDCLFMNIW 180  
 D3: -----  
 Kash: -----M-----M-----

Cooper: APAKARLRHG RGTNGGEHSS KTDQDHЛИHS ATPQNTTNGL PILIWIYGGG FMTGSATLDI 240  
 D3: -----  
 Kash: -----

Cooper: YNAEIMSAVG NVIVASFQYR VGAFGFLHLS PVMPGFEEEA PGNVGLWDQA LALRWLKENA 300  
 D3: -----L-----  
 Kash: -----L-----

Cooper: RAFGGNPEWM TLPGESAGSS SVNAQLMSPV TRGLVKRGMM QSGTMNAPWS HMTSEKAVEI 360  
 D3: -----  
 Kash: -----A-----A-----

Cooper: GKALVNDCNC NASLLPENPQ AVMACMRQVD AKTISVQQWN SYSGILSFPS APTIDGAFLP 420  
 D3: -----  
 Kash: -----Y-----Y-----

Cooper: ADPMTLLKTA DLSGYDILIG NVKDEGTYFL LYDFIDYFDK DDATSLPRDK YLEIMNNIFQ 480  
 D3: -----  
 Kash: -----

Cooper: KASQAEREAI IFQYTSWEGN PGYQNQQQIG RAVGDHFPTC PTNEYAQALA ERGASVHYYY 540  
 D3: -----  
 Kash: -----

Cooper: FTHRTSTSLW GEWMGVLDGD EIEYFFGQPL NNSLQYRPVE RELGKRMILNS VIEFAKGSPN 600  
 D3: -----  
 Kash: -----

Cooper: AVDGEEWPNF SKEDPVYYVF STDEKIEKLQ RGPLAKRCSE WNDYLPKVRS WIGSECENKS 660  
 D3: -----  
 Kash: -----

Cooper: STSASAAIYE MKMQQLTLA VAIILTMVNS IFQ 693  
 D3: -----  
 Kash: -----

图 3 家蝇 AChE 基因 PCR 扩增 cDNA 片段的氨基酸顺序

Fig.3 Comparison of the amino acid sequences of housefly AChE cDNA in the PCR amplified region. The numbers at the end of each line refer to amino acid sequences. Predicted signal peptide is underlined. - indicates residues identical to the Cooper sequence. \* indicates deleted residues. ↓ indicates 6 cysteines which form intra-subunit disulphide bonds. ▲ indicates 3 residues which probably take part in the esterasic site. ▼ indicates a different mutation in 49R from that in CH<sub>2</sub>.

表的电鱼 AChE 的 X 射线晶体结构的基础上进行模拟, 不敏感 AChE 中的 4 个点突变正

好位于酶的活性部位。这个模型解释了为什么 AChE 变更型在有某些相对大的杀虫药剂分子存在的条件下,仍能继续水解正常的小分子底物乙酰胆碱,其原因是在 AChE 变更型中,替换的这 4 个氨基酸分子比敏感型 AChE 中相应的 4 个氨基酸分子要大,从而缩小了活性位点“口袋”有效空间位置,因此,尽管杀虫药剂分子在化学结构上与乙酰胆碱非常相似,但由于活性部位空间位置的改变使得这些杀虫药剂分子不能进入而与酶结合。

## 参 考 文 献

- [1]Fournier D, Bride J M, Hoffmann F et al. *J Biol Chem*, 1992a, **267**:14270~14274.
- [2]Mouches C, Pasteur N, Berge J B et al. *Science*, 1986, **233**:778~780.
- [3]Field L M, Devonshire A L, Forde B G. *Biochem J*, 1988, **251**:309~312.
- [4]Fournier D, Bride J M, Poirie M et al. *J Biol Chem*, 1992b, **267**:1840~1845.
- [5]Amichot M, Castella C, Cuang A et al. *Pestic Biochem Physiol*, 1992, **44**:183~190.
- [6]Williamson M S, Denholm I, Bell C A et al. *Mol Gen Genet*, 1993, **240**:17~22.
- [7]Hall L M C, Spierer P. *EMBO J*, 1986, **5**:2949~2954.
- [8]Williamson M S, Crick S E, Moores G D et al. In: the Conference of Molecular Genetics, Ecology of Pesticides Resistance, 1995, pp. 2~6.
- [9]Moores G D, Devonshire A L, Denholm I. *Bull Ent Res*, 1988, **78**:537~544.
- [10]Sambrook J, Fritsch E F, Maniatis T. *Molecular Cloning: A Laboratory Manual*. 2nd ed. New York; Cold Spring Harbor Laboratory Press. 1989.
- [11]Watson M E E. *Nucleic Acids Res*, 1984, **12**:5145~5164.
- [12]Schumacher M, Camp S, Maulet Y et al. *Nature*, 1986, **319**:407~409.
- [13]Sussman J L, Harel M, Frolov F et al. *Science*, 1991, **253**:872~879.

## Characterization of Acetylcholinesterase Gene from Insecticide-resistant Housefly (*Musca domestica*)

Huang Yao Qiao Chuanling

(Institute of Zoology, Academia Sinica, Beijing 100080)

Williamson M S Devonshire A L

(Rothamsted Experimental Station, Harpenden, Herts. AL5 2JQ, UK)

**Abstract** Acetylcholinesterase (AChE) is the target site for the organophosphates and carbamates in insects. Widespread use of these two classes of insecticides has led to the selection of resistance. Target modification was regarded as a molecular mechanism in some resistance species. The altered AChEs with reduced sensitivity to inhibition are related to this resistance. AChE genes from two insecticide-resistant housefly (*Musca domestica*) strains D3 and Kash were isolated and sequenced using RT-PCR and streptavidin-linked magnetic bead techniques. The cDNAs have a 2082 bp open reading frame from which the complete amino acid sequence of AChE has been deduced. Some differences of nucleotide sequence and four point mutations of amino acid were found compared with that of a susceptible strain Cooper. Three substitutions are likely to confer insecticide insensitivity, which seems that D3 and Kash belong to CII2 pattern of resistance.

**Key words** *Musca domestica*, acetylcholinesterase gene, mutation, insecticide resistance